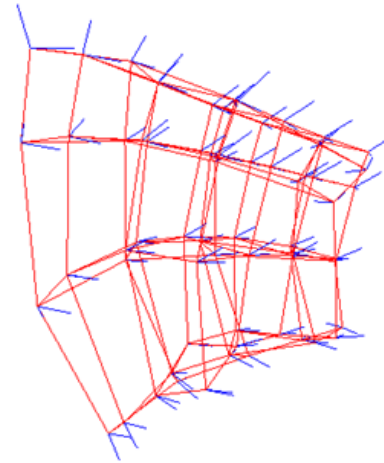


# Virtuelle Realität

## Darstellungsfehler und Korrektur

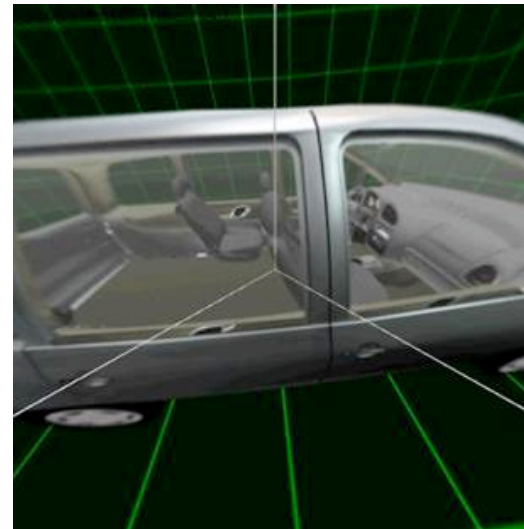
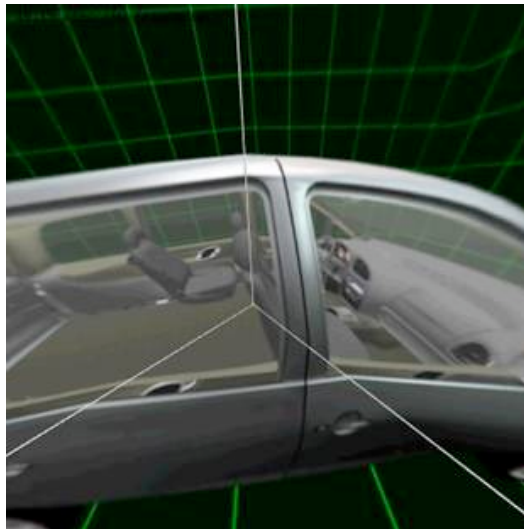


G. Zachmann  
Clausthal University, Germany  
[cg.in.tu-clausthal.de](http://cg.in.tu-clausthal.de)



# Auswirkungen falscher Kamera-/Handpos.

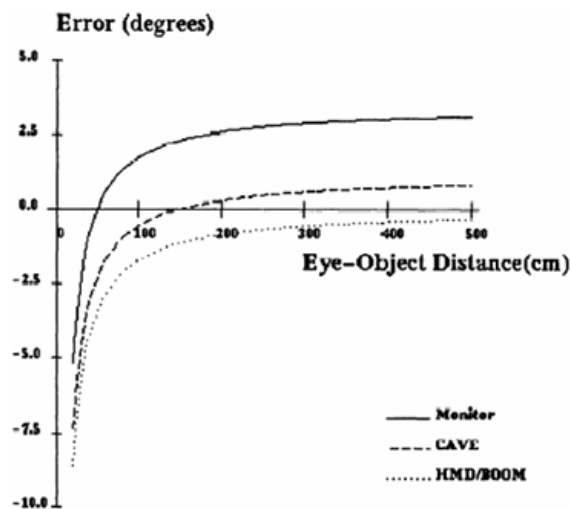
- Cave: Bildverzerrung , "Schwanken" (wg. Latenz)
- HMD: präzise Manipulation/Positionierung wird erschwert
- Anwendungsbeispiele, wo das wichtig ist:
  - Styling review, ...
  - Einbausimulation, Ergonomieuntersuchung, ...



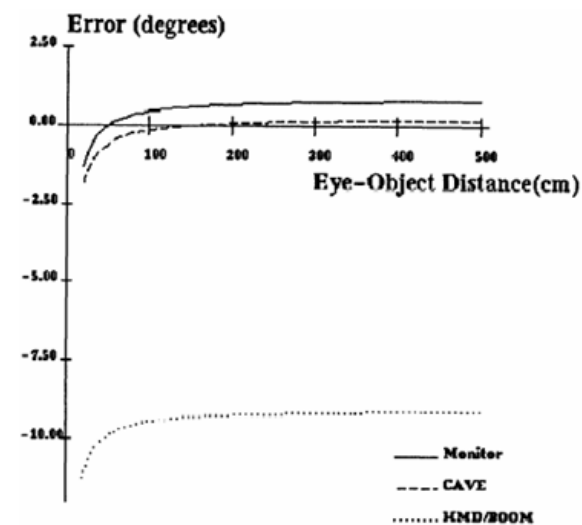


## Verschiedene Auswirkung bei versch. Displays

- *Translational camera displacement*: HMD normalerweise besser
- *Rotational camera displacement*: Cave besser
- Problem in der Cave: statische und dynamische Bildverzerrung
- Problem im HMD: Propriozeption widerspricht visueller Wahrnehmung



*Angular error, head displacement*



*Angular error, head rotation*



# Fehlerquellen

## 1. Physikalische Fehlerquellen:

1. Verzögerung (*Delay*, Latenz, Lag)
2. *Tracking-System*
3. *Transformations-Pipeline*
4. Sonstige kleinere Quellen

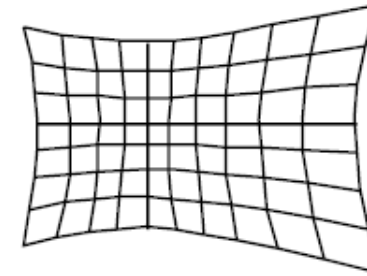
## 2. Psychophysiologische Quellen:

1. Berichte von Usern in der Cave (*Daimler*)
2. Unerforscht! ...

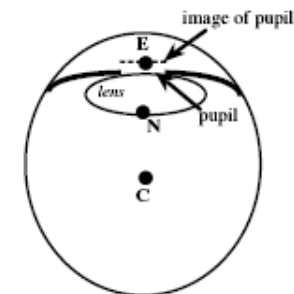


## Kleinere Fehlerquellen

- Optische Verzerrung durch das Display
  - Mögliche Lösung:  
2x rendern mit Texturverzerrung



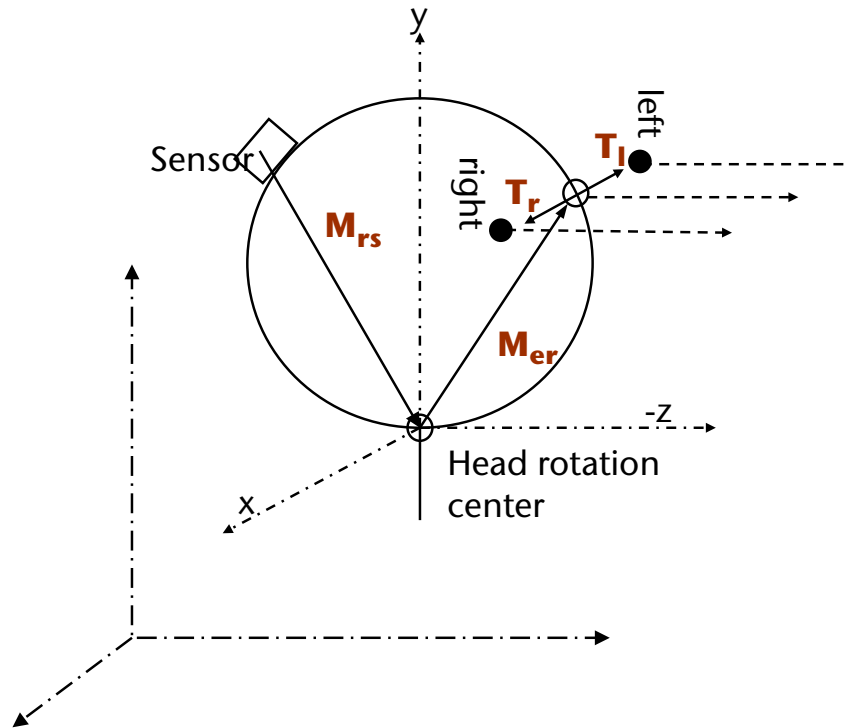
- Augen-Tracking?
  - Fehler ist vernachlässigbar, falls Projektionszentrum = Augenzentrum gewählt wird





# Transformationsfehler

- Fehler in der Bestimmung des User-Modells



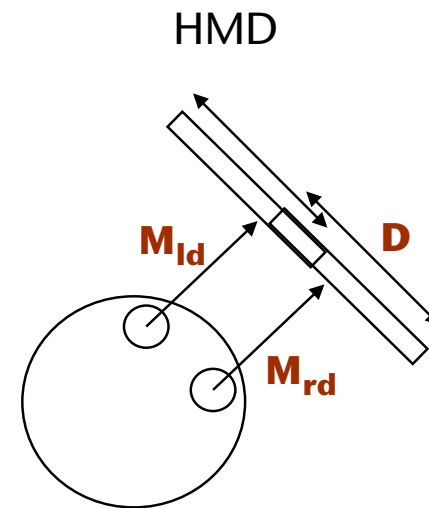
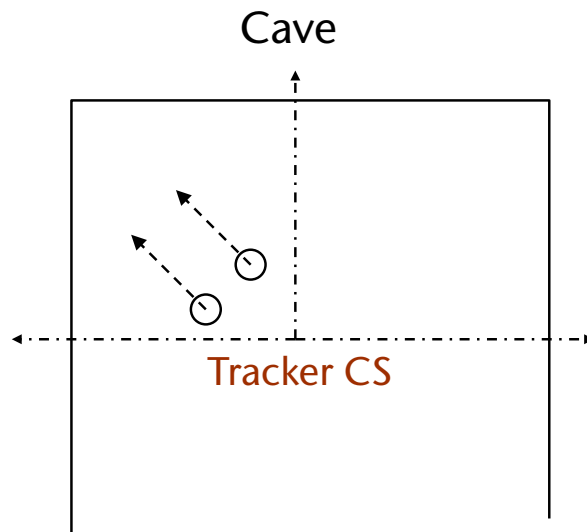
$$M_e = T_r M_{er} M_{rs} M_s$$

$M_s$  = aktuelle Sensorposition

$M_e$  = Viewpoint-Transf.



- Wo ist das Display / die Projektionsebene?



$M_{*d}$  = Transf. vom linken/rechten  
Auge zum Display  
 $D$  = Display-Geometrie



# Tracking-Korrektur

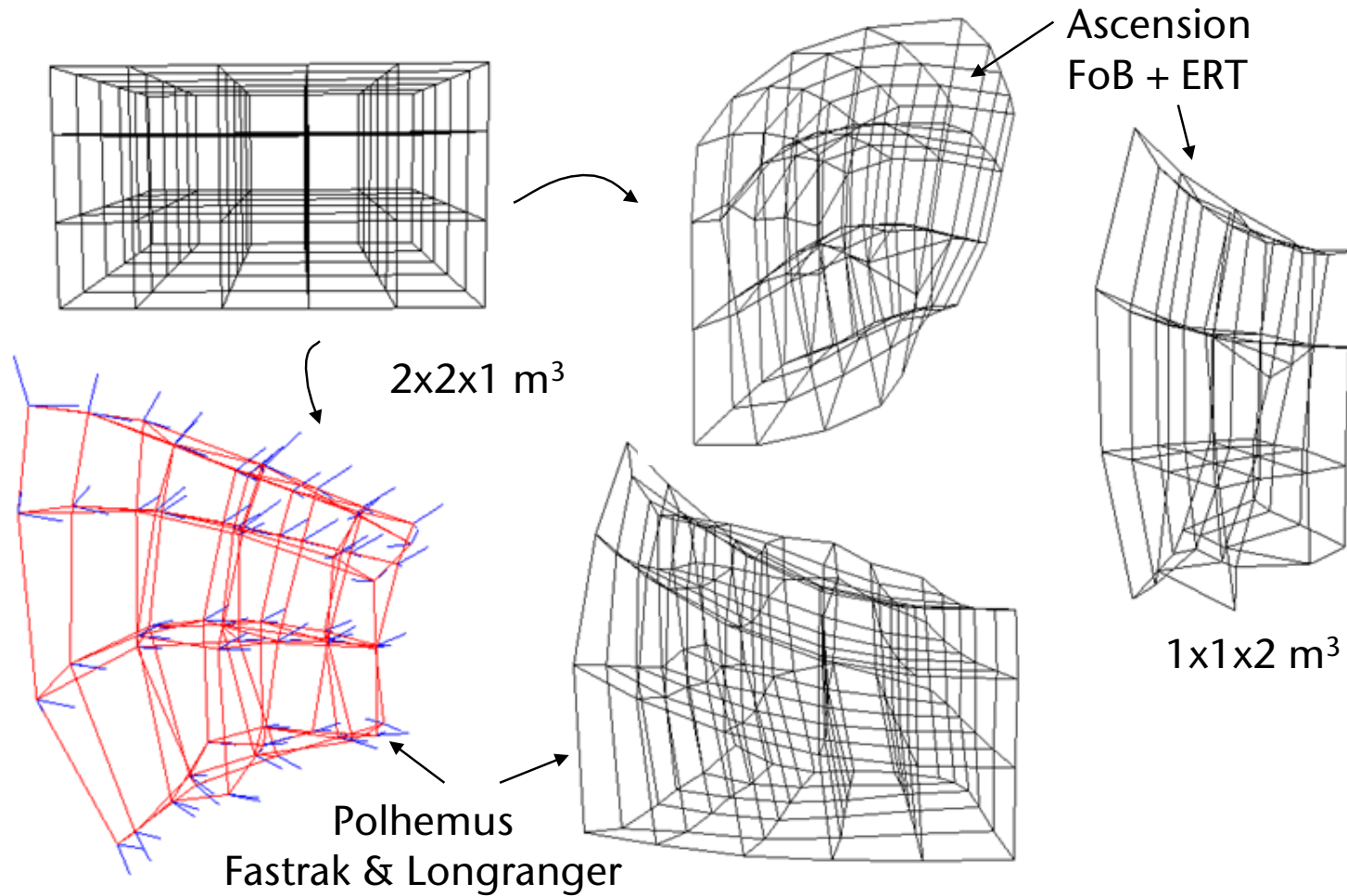
- Static:
  - Falsches Alignment des Koord.systems
  - Verzerrungen
- Dynamic:
  - Rauschen
  - Drift
  - Drop-outs





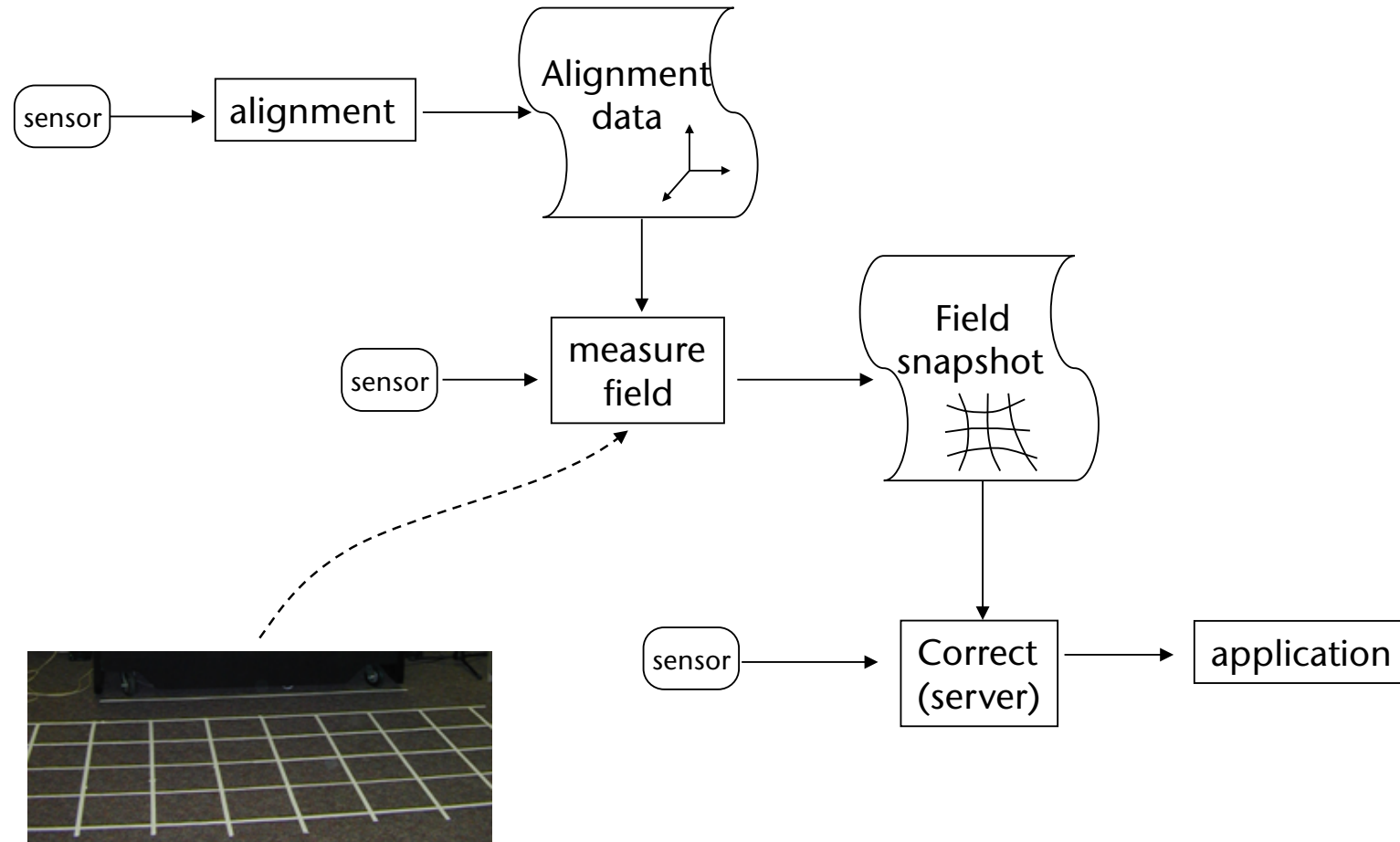


# Verzerrung (z.B. durch Fremdmetall beim elektrom. Tr'ing)





# Allgemeine Prozedur





- Problem: Interpolation
- Ansätze:
  - Polynomiale Interpolation/Approximation (normal, Lagrange, ..)
  - B-Spline-Volumen
  - Shape functions (*scientific visualization*)
  - *Look-up tables*
  - Radiale Basisfunktionen (*Hardy's Multi-Quadric*)

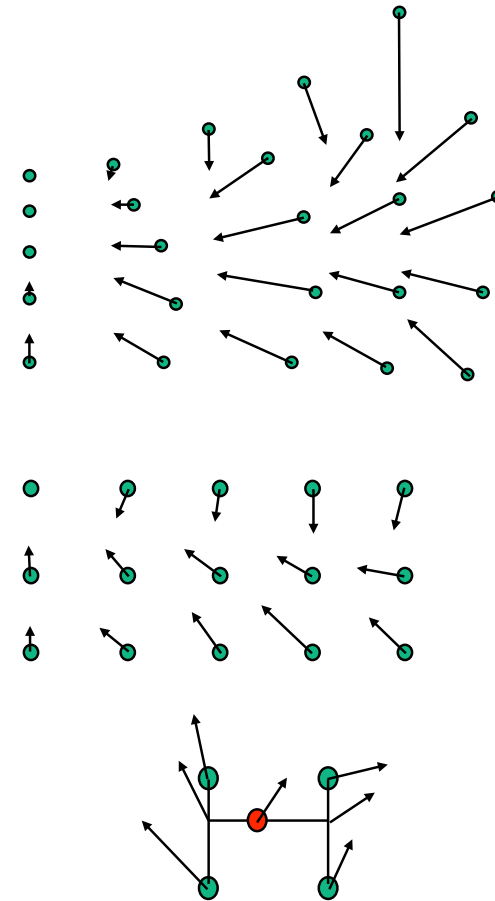


## Lookup table

- Gegeben: Meßwerte und Sollwerte
- *Resampling* der Korrekturvektoren in reguläres Gitter mit Gauß-Kernel:

$$v_Q = \sum_p v_P e^{-\frac{|P-Q|^2}{h^2}}$$

- Korrektur zur Laufzeit:  
trilineare Interpolation der Korrekturvektoren
- Test, ob Gitter fein genug:  
berechne mittels *Lookup-Table* Korrekturvektoren für echte Messwerte, vergleiche mit echten Korrekturvektoren





## Hardy's Multi-Quadric (HMQ)

- Zunächst Korrektur der Translation mit  $f : \mathbb{R}^3 \rightarrow \mathbb{R}^3$

- Ansatz:  $f(P) = \sum A_i \omega_i(P), \quad A_i \in \mathbb{R}^3$

$$\omega_i(P) = \left[ (P - P_i)^2 + R^2 \right]^\mu \quad \leftarrow \text{radiale Basisfunktionen}$$

$$\mu = \frac{1}{2}, \frac{1}{4}, 2, -\frac{1}{2}, \dots$$

- Einsetzen:

$$f(P_j) = Q_j, \quad j = 1, \dots, N$$

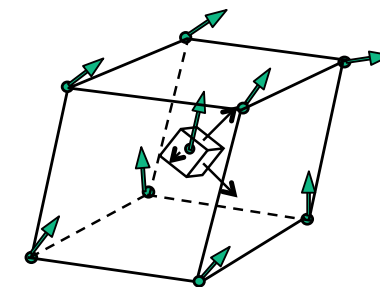
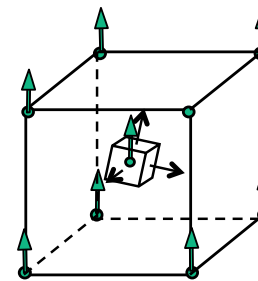
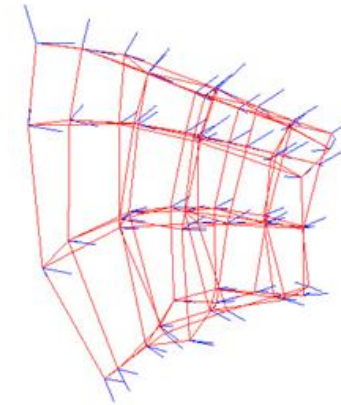
- liefert 3 LGS:

$$\begin{pmatrix} \omega_i(P_1) & \cdots & \omega_N(P_1) \\ \vdots & \ddots & \vdots \\ \omega_i(P_N) & \cdots & \omega_N(P_N) \end{pmatrix} \begin{pmatrix} A_1 \\ \vdots \\ A_N \end{pmatrix} = \begin{pmatrix} Q_1 \\ \vdots \\ Q_N \end{pmatrix}$$



## ■ Orientierung:

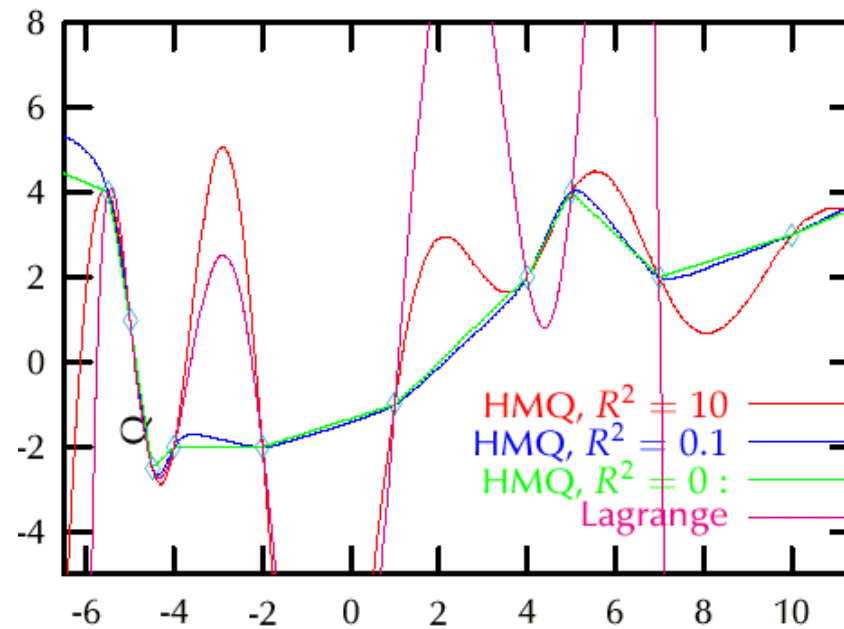
- Effekt auf *Stereo-* und *Hand-Rendering*
- Beobachtung:  $g: \mathbb{R}^3 \rightarrow \mathbb{R}^6$  genügt
- Theoretische Korrektur:
  - Sensor in definierter "Null-Lage" an jeden Punkt P im Raum halten
  - Orientierung  $M_P^0$  messen
  - Zur Laufzeit:  $M_P^{\text{correct}} = (M_P^0)^{-1} \cdot M_P^{\text{measured}}$
- Praktisch:
  - Repräsentiere Ori durch 2 Zeilenvektoren
  - 1.g interpoliert/approximiert  $M_P^0$  "dazwischen" wie bei Translation
  - 2.g(P) = M anschließend orthonormal machen
  - 3.Dieses  $M_P^0$  für Korrektur der gemessenen Ori verwenden wie oben





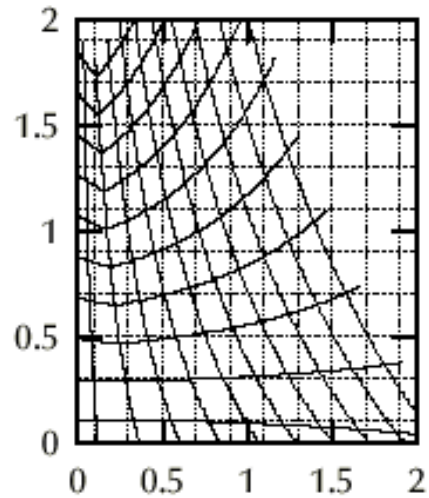
## Das optimale $R^2$

- Nur empirisch
- Meine Erfahrung:  
unkritisch im 3D mit genügend Punkten  
( $R^2 = 0.1 \dots 10$ )

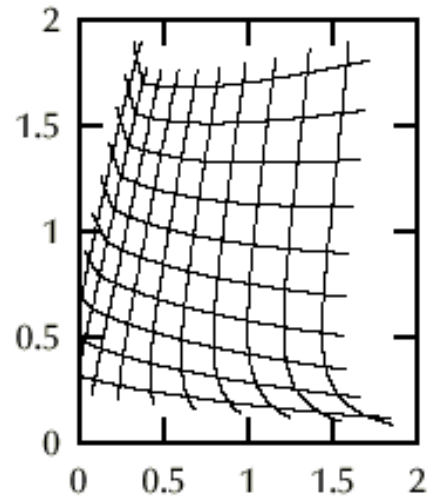




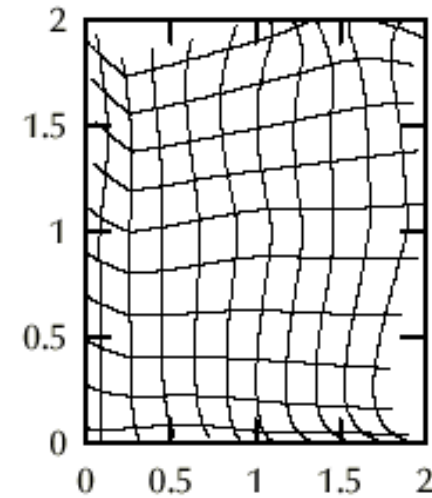
# Vergleich HMQ und Polynom-Interpolation



Synth. Feld



Lagrange



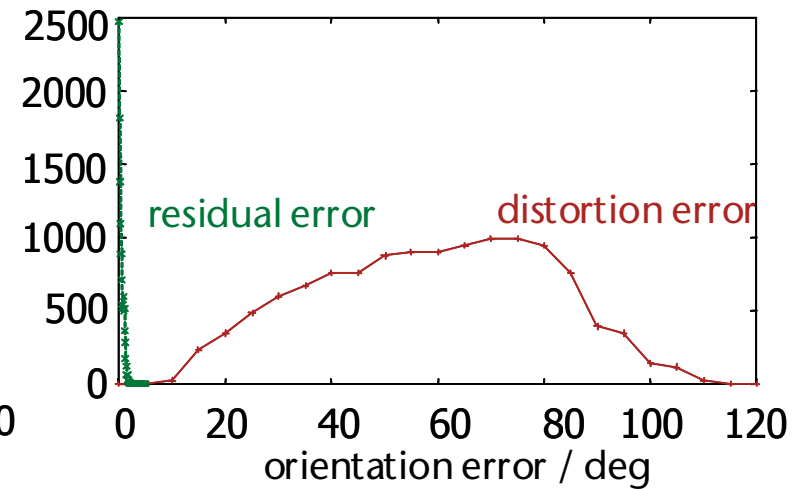
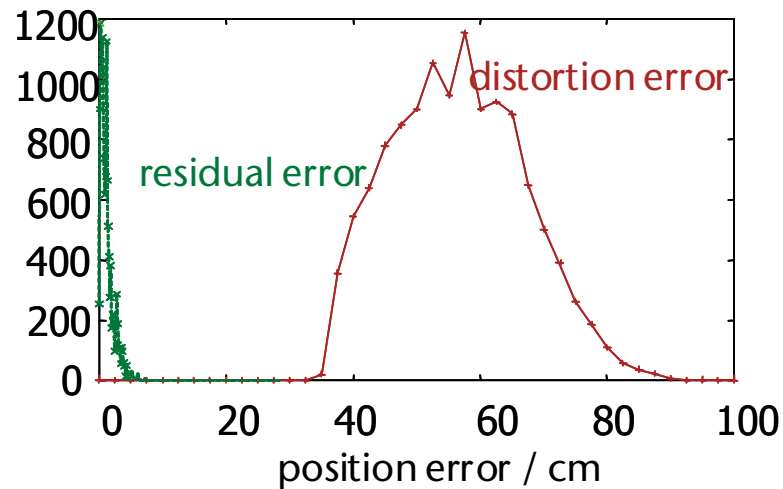
HMQ





## ■ Vorteile:

- Kein zusätzlicher Lag (200 Punkte < 1 Millisek.)
- Beliebige Punktwolken
- Man kann leicht Punkte zur Laufzeit hinzufügen
- Stetigkeit, Stabilität, Güte
- Interpolierend





## Latenz (*latency, lag*)

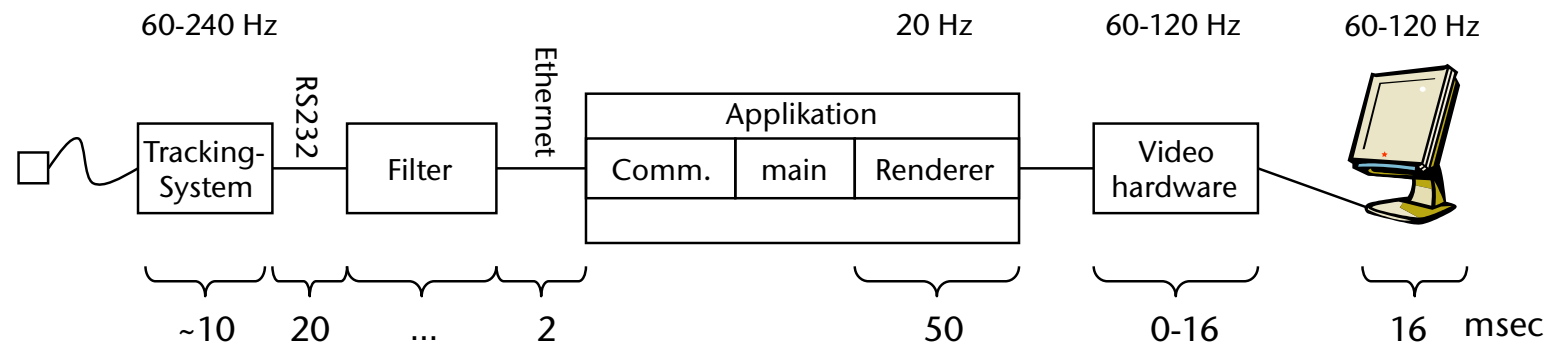
- Def.: Zeitdauer von der User-Aktion bis zur Änderung des Displays
- *Human factors*:

Latenz/msec	Effekt auf User
5	beobachtbar
30	<i>User-Performance sinkt (evtl. "simulator sickness")</i>
500	Immersion verschwindet

- NB: Kopf kann mit 1000 Grad/Sek. rotieren



## ■ Latenz-Pipeline:



## ■ Arten von Lag:

- Geräte
- Transport
- Software
- Synchronisation



# Was kann man generell tun?

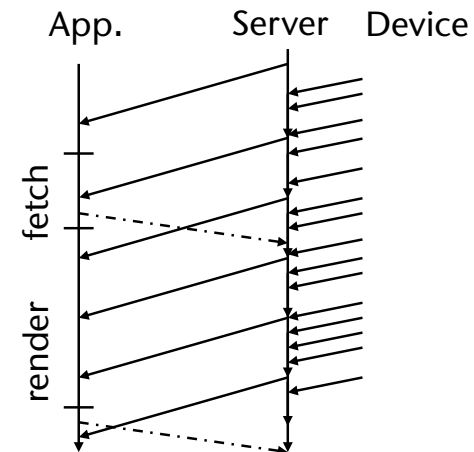
## ■ Gerät-Server-App-Kommunikation:

- "*continuous mode*"
- "*keep alive*" message
- Evtl. 2 Prozesse im Server



## ■ "*Time-critical computing*":

- Jeder Teil der App bekommt bestimmte Zeit zugeteilt
- Abbrechen, wenn Zeit verbraucht

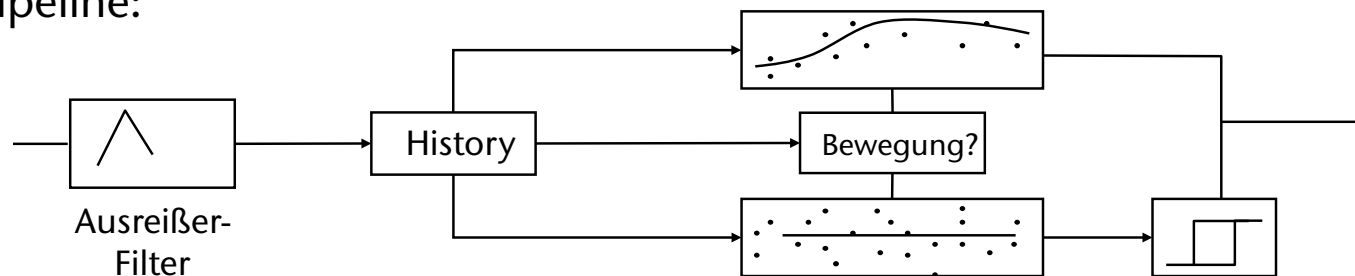


## ■ Prädiktion der Geräte-Daten



# Filterung / Prädiktion

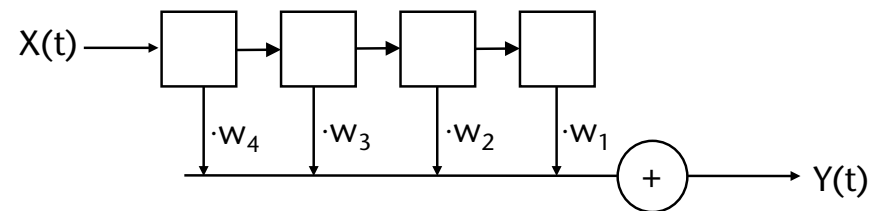
- Latenz bei Kopf- und *Hand-Tracking* besonders stark sichtbar
- Rauschen in *Tracking-Daten*
- Idee: **prädiktive Filter**:  
Liefere am Ausgang des Filters geglättete Daten in der "Zukunft"
- Erwünschte Eigenschaften:
  1. Rauschen löschen
  2. Stationäres Signal erkennen
  3. Ausreißer löschen
  4. Das Signal selbst sollte nicht gedämpft / verzögert werden
- Pipeline:





- FIR-Filter (*finite impulse response*):

$$y_t = \sum_{i=-k}^k w_i x_{t+i}$$

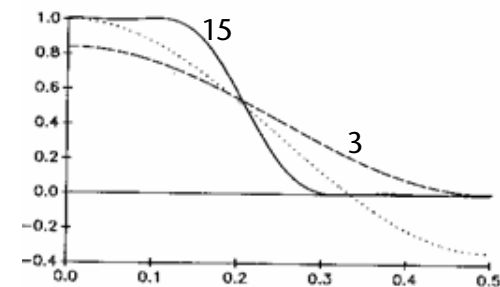
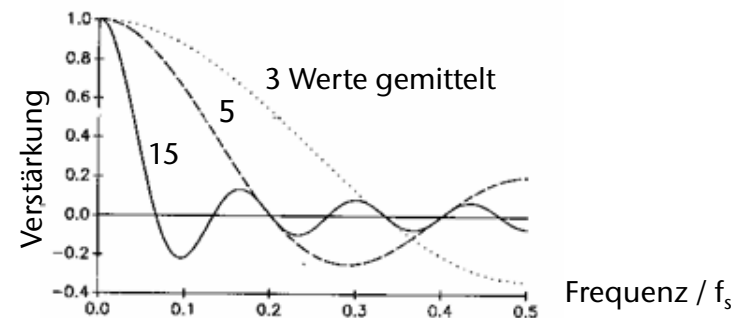


- Charakteristik:

- Zeigt, wie Filter Signal dämpft, abhängig von Abtastfrequenz

- Mittelwert-Filter:

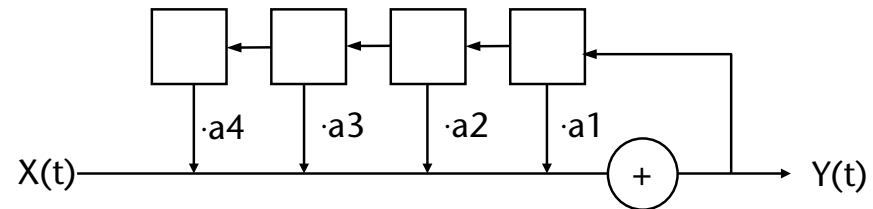
- Verschiedene Gewichte (z.B.  $\frac{1}{4}$ ,  $\frac{1}{2}$ ,  $\frac{1}{4}$ ):





- IIR (*infinite impulse response*):

$$y_t = x_t + \sum_{i=1}^k a_i y_{t-i}$$



- Autoregressions-Modell:

$$y_t = \sum_{i=1}^k a_i y_{t-i} + \epsilon_t$$

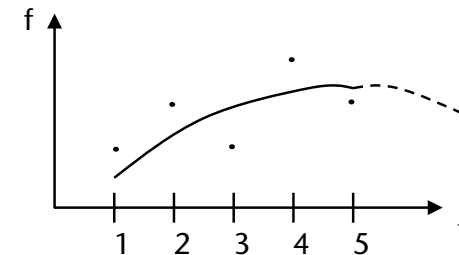
- Polynomiale Filterung/Prädiktion:

- Ansatz:  $f(i) = a_0 + a_1 i + \dots + a_n i^n$

- Löse  $A^T A \mathbf{a} = A^T \mathbf{f}$

$$A_{ij} = i^j, \quad \mathbf{a} = (a_0, \dots, a_n), \quad \mathbf{f} = (f(0), \dots, f(n))$$

- Werte f danach in der "Zukunft" aus





- Kalman-Filter:

- Gegeben: linearer Prozeß mit diskreten Zeit-Schritten

$$x_{k+1} = A_k x_k + B u_k + w_k$$

- Messprozeß

$$z_k = H_k x_k + v_k$$

- Man kennt nur  $z_k$  und Schätzung für  $x_k$ , will aber  $x_{k+1}$  vorhersagen

1. Schätze Vorhersage  $\hat{x}_{k+1} = \hat{A}_k \hat{x}_k + \hat{B} u_k$

2. Messe  $z_{k+1}$

3. Korrigiere  $\hat{x}_{k+1}$

- Optimal für lineare Prozesse
- Parameter einstellen ist Magie